



## 2.1 การสลายตัวของสารกัมมันตรังสี

ในการสลายตัวของสารกัมมันตรังสี จะมีการปลดปล่อยรังสีแอลfa (Alpha) รังสีเบต้า (Beta) รังสีแกรมมา (Gamma) และอื่น ๆ อกมา เพื่อปลดปล่อยพลังงานส่วนเกินภายในอนุภาคสารกัมมันตรังสี เพื่อปรับตัวเองจากภาวะทึ่นตัว (Excited state) กลับสู่ภาวะปกติ (Ground state)

การสลายตัวของสารกัมมันตรังสีที่ให้รังสีแอลfa มักพบในสารกัมมันตรังสีตามธรรมชาติเป็นส่วนใหญ่ สารกัมมันตรังสีซึ่งเกิดจากการจับนิวตรอนของสารไอโซโทปที่อยู่ตัว เกือบทั้งหมดจะสลายตัว โดยการปลดปล่อยรังสีเบต้าแล้วตามด้วยรังสีแกรมma การที่สารกัมมันตรังสีสลายตัวปลดปล่อยรังสีเบต้าจากด้วย เป็นไอโซโทปอื่น แท้จริงในนิวเคลียสจะยังมีพลังงานส่วนเกินเหลืออยู่ และพลังงานส่วนเกินนี้มักจะถูกปลดปล่อยออกมายังรังสีแกรมma เพื่อปรับตัวเองกลับสู่ภาวะปกติตามธรรมชาติ

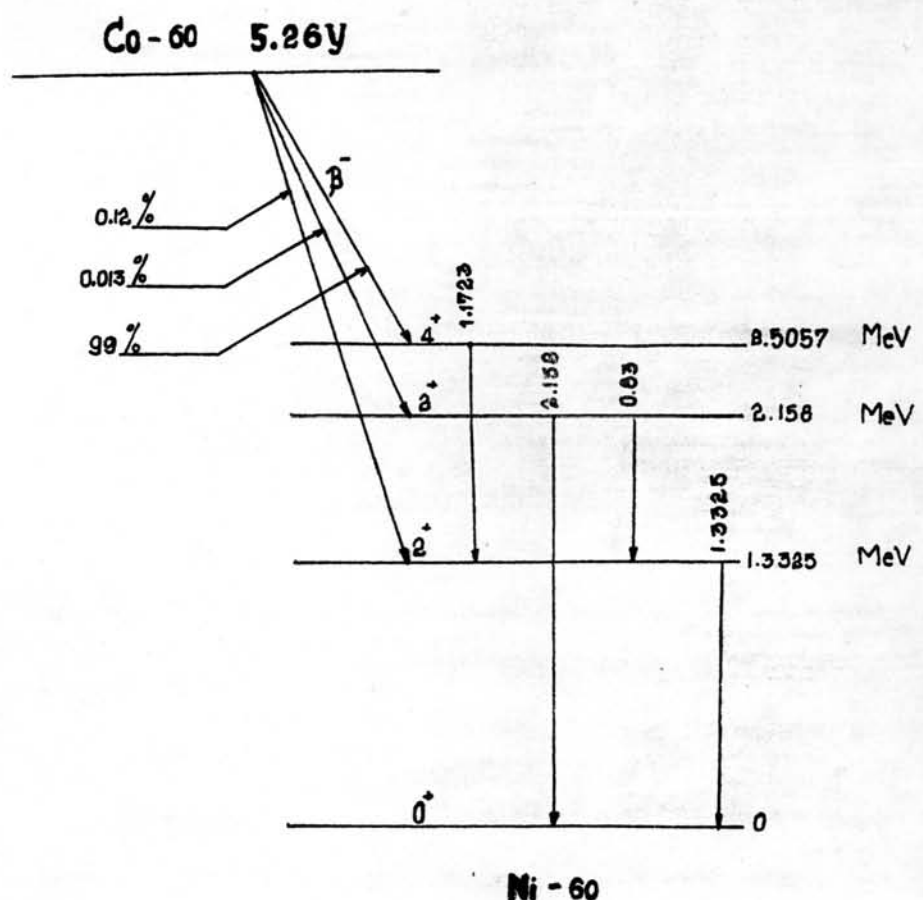
การสลายตัวของสารกัมมันตรังสีส่วนมากจึง เป็นการปลดปล่อยรังสีเบต้าแล้วตามด้วยรังสีแกรมma ซึ่งเกิดขึ้นต่อเนื่องกันในช่วงเวลาอันสั้น น้อยกว่าหนึ่งในล้านของวินาที叫做รัมชาติของการสลายตัวของสารกัมมันตรังสีทั้งกล่าว จึงนำไปสู่การพัฒนาเทคนิคการนับแบบเบต้า-แกรมma โคงินซีเคนซ์ เพื่อใช้รับความแรงสัมมูลของสารกัมมันตรังสีบางชนิด และศึกษารายละเอียดของการสลายตัว ของสารกัมมันตรังสี

## 2.2 แผนภูมิการสลายตัวของ โคงินซี-60 ห้อง-198 และไอโอดีน-131

### 2.3 วงจรโคงินซีเคนซ์ (Coincidence Circuits)

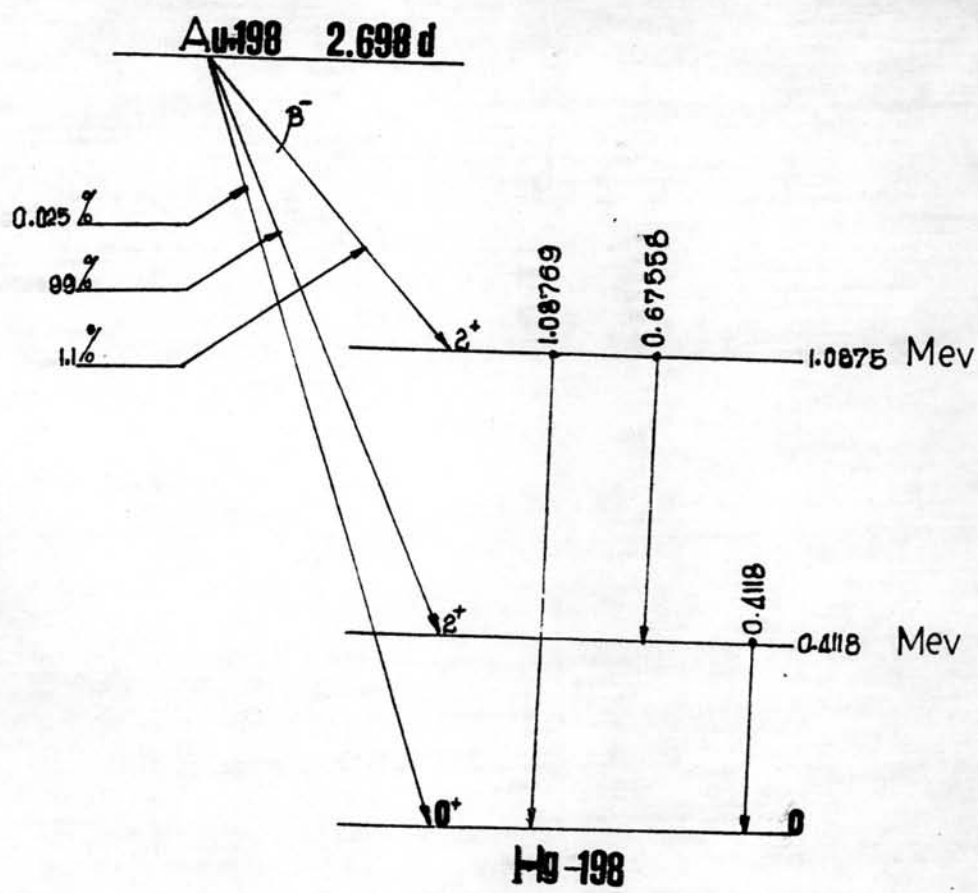
Bleuler และ Goldsmith<sup>(5)</sup> Chase<sup>(8)</sup> และ Price<sup>(7)</sup>

2.2.1 แผนภูมิการสลายตัวของโคบอลท์-60<sup>(1)</sup>



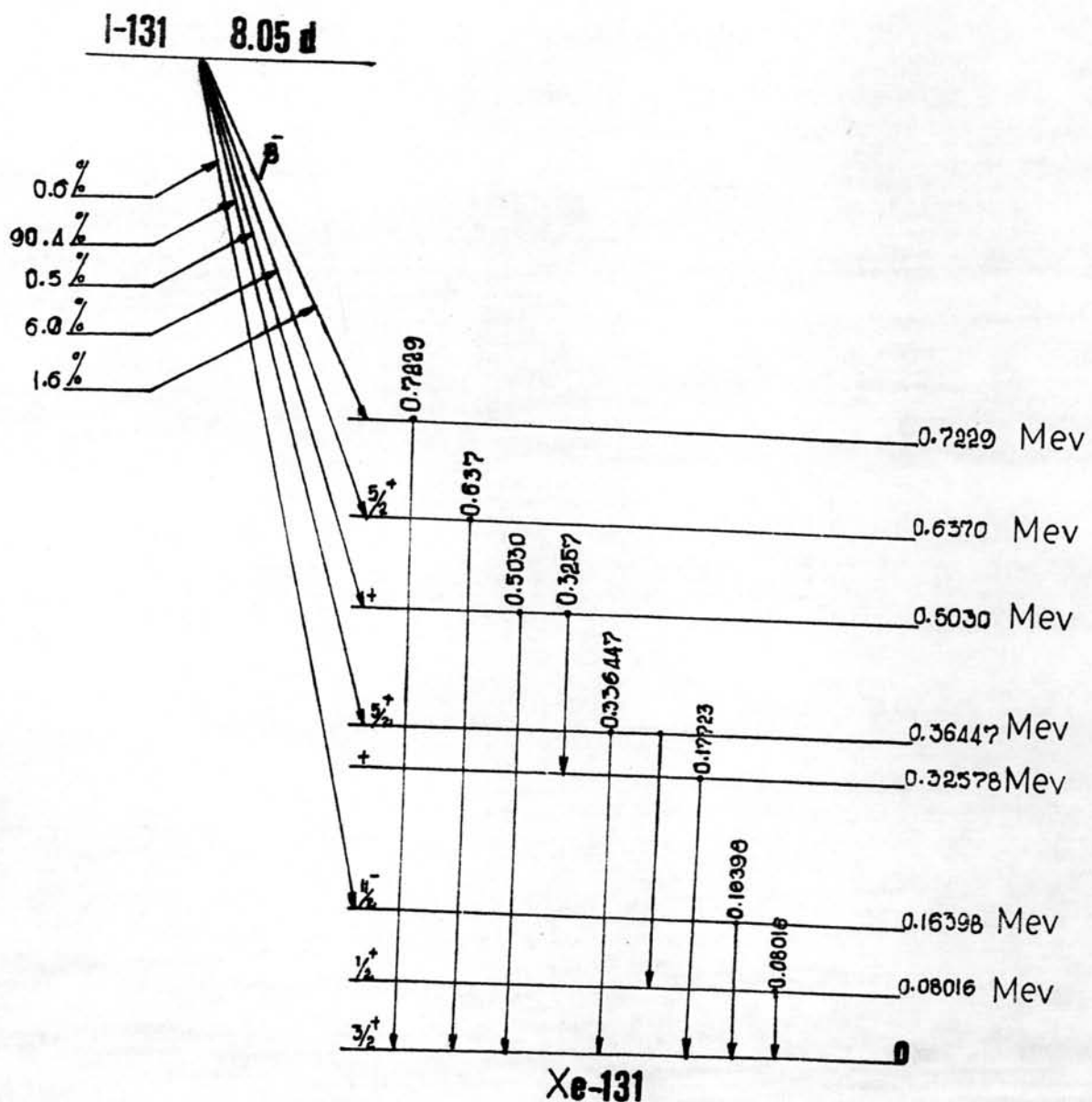
รูปที่ 2.1 แสดงแผนภูมิการสลายตัวของกั่นกำเนิดรังสีโคบอลท์-60

2.2.2 แผนภูมิการสลายตัวของ ทอง-198<sup>(1)</sup>



รูปที่ 2.2 แสดงแผนภูมิการสลายตัวของกัมกำเนิดรังสี ทอง-198

2.2.3 แผนภูมิการสลายตัวของ ไอโอดีน-131<sup>(1)</sup>

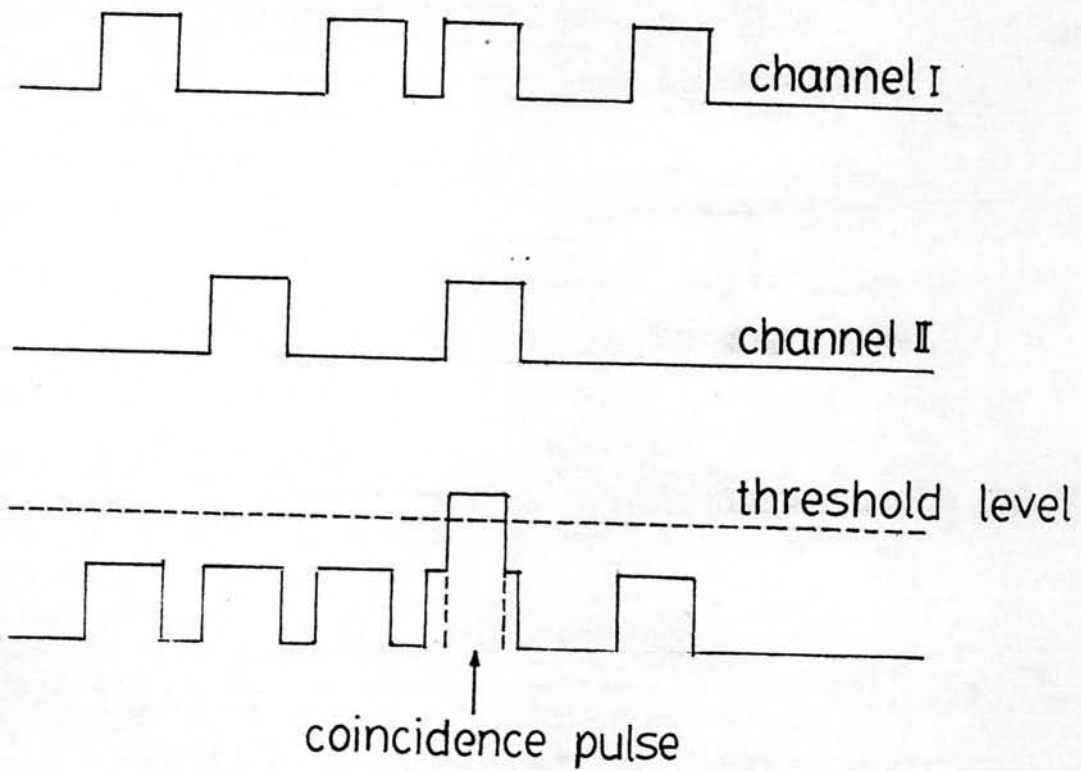


รูปที่ 2.3 แสดงแผนภูมิการสลายตัวของทั้งกำเนิดรังสี ไอโอดีน-131

ໄກบరրายถึงวิธีการนี้เป็นแบบทั่ว ๆ แห่งที่ใช้หลอดสัญญาณและหานวัตกรรม  
โดยจำแนกวงจรโกอินชีเกน์เป็นแบบฐาน หรือแบบ Rossi แบบอนุกรม และแบบ  
บริดจ์ (Bridge) ก่อนมา Nicholson<sup>(6)</sup> ได้รวมรวมและบรรยายวิธีการนี้ไว้ใน  
ค่ายหานวัตกรรมสเตอร์ลวน ๆ และได้จำแนกวงจรโกอินชีเกน์เป็นแบบบวกสัญญาณ  
(Additive type) วงจร Diode AND gate วงจร Differential  
coincidence และแบบอื่น ๆ

วงจรโกอินชีเกน์แบบธรรมชาติที่สุดเป็นแบบบวกสัญญาณ สัญญาณจากเครื่อง  
วัดรังสีอย่างน้อย ส่องเครื่อง ถ้าเข้าอินพุตของวงจรโกอินชีเกน์ โดยมีช่วงเวลา  
ข้อนักอนุญาติรวมกันมีสัญญาณโตเกิน Threshold ของวงจรโกอินชีเกน์ ทำให้เกิด  
สัญญาณเอาท์พุตสูงขึ้นไป หลักการของวงจรโกอินชีเกน์แบบบวก แสดงดังนี้ปั๊มที่ 2.4  
วงจรแบบบวกสัญญาณที่บวกตามค่าที่สุดใช้ รีเวิส ไบแอส ไกด์โอด (Reverse biased  
diode)

วงจรไกด์ แอนด์ เกต (Diode AND gate) หรือวงจร Rossi  
เป็นวงจรโกอินชีเกน์ที่ใช้หัว ๆ ไปมากที่สุด ออกแบบดังเดิมโดย Rossi ค่ายหลอด  
ไทรโอด (Triode) Nicholson<sup>(6)</sup> ได้กล่าวถึงหลักการของไกด์ แอนด์ เกต  
ซึ่งใช้เป็นวงจรโกอินชีเกน์ วงจรสมดุลของโกอินชีเกน์ และแอนไนโกลินชีเกน์  
(Anti-coincidence) รวมทั้งวงจรแบบอื่น ๆ ซึ่งใช้หลักการของไกด์ แอนด์ เกต  
เช่นวงจรของ Tomlinsun และ Brown วงจรของ Simms พร้อมทั้งกล่าวถึง  
วงจรของ Verweij ซึ่งสามารถจัดให้มีช่วงของโกอินชีเกน์ หรือแอนไนโกลินชีเกน์  
ได้ถึง 5 ช่วง วงจนสามารถทำงานเมื่อฟrequency ของสัญญาณสูงขนาด 100-200 เมกกะ-  
เฮิรตซ์ (MHz) ได้ วงจรดิฟเฟอเรนซ์ เซียด โกอินชีเกน์ (Differential  
coincidence) พื้นที่นี้เมื่อวงจรมี รีโซลวิ่ง ไทม์ (Resolving time)  
สั้นกว่าความกว้าง (Width) ของสัญญาณอินพุต Nicholson<sup>(6)</sup> ได้อธิบายวงจร  
ดิฟเฟอเรนซ์ เซียดของ Bay และ Mennier ซึ่งทำการรีโซลวิ่ง ไทม์ ได้สั้นกว่าความ  
กว้างของสัญญาณอินพุตมาก

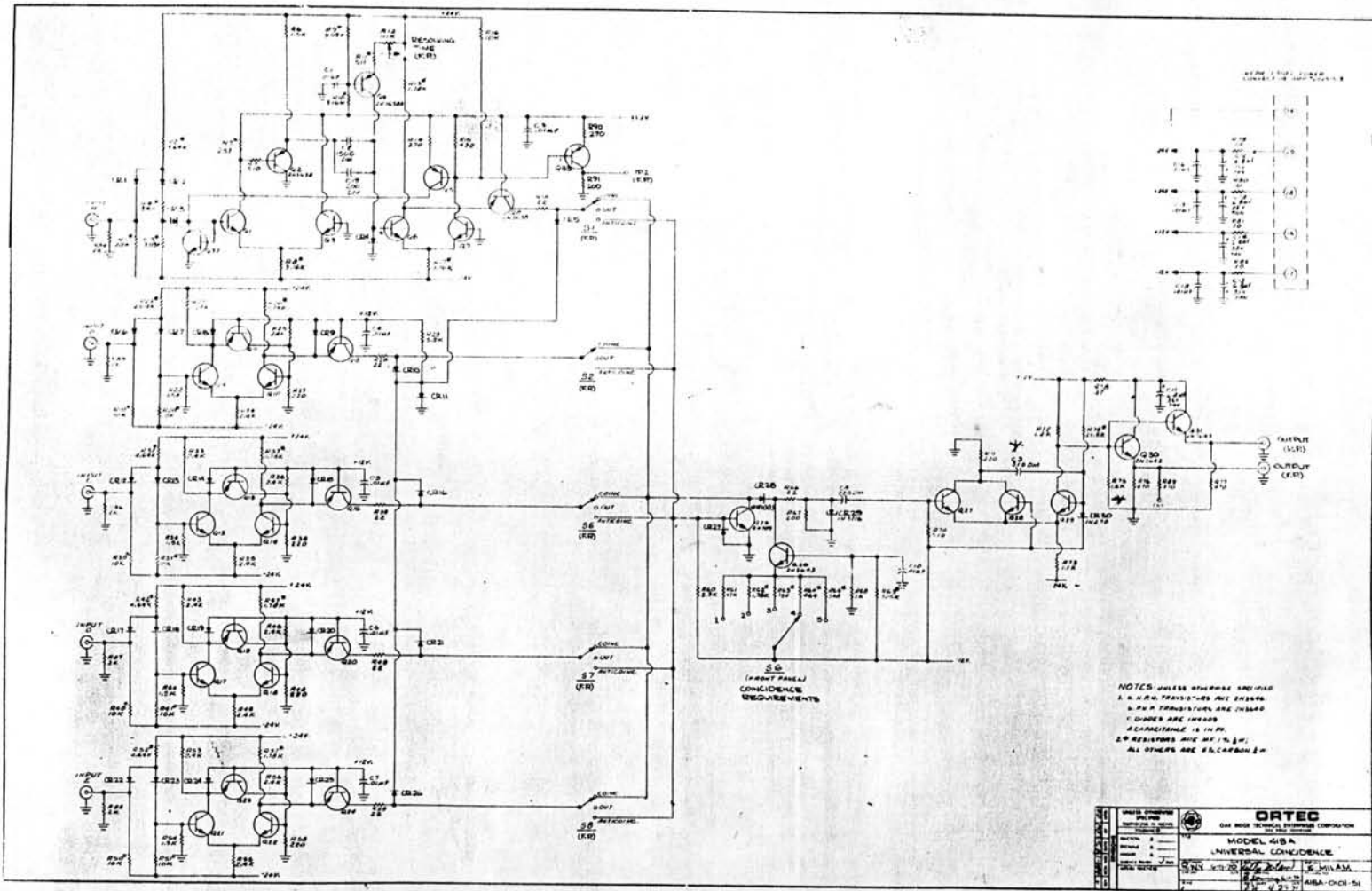


รูปที่ 2.4 แสดงการเกิดสัญญาณโคインซิเกนซ์แบบบวกสัญญาณ (6)

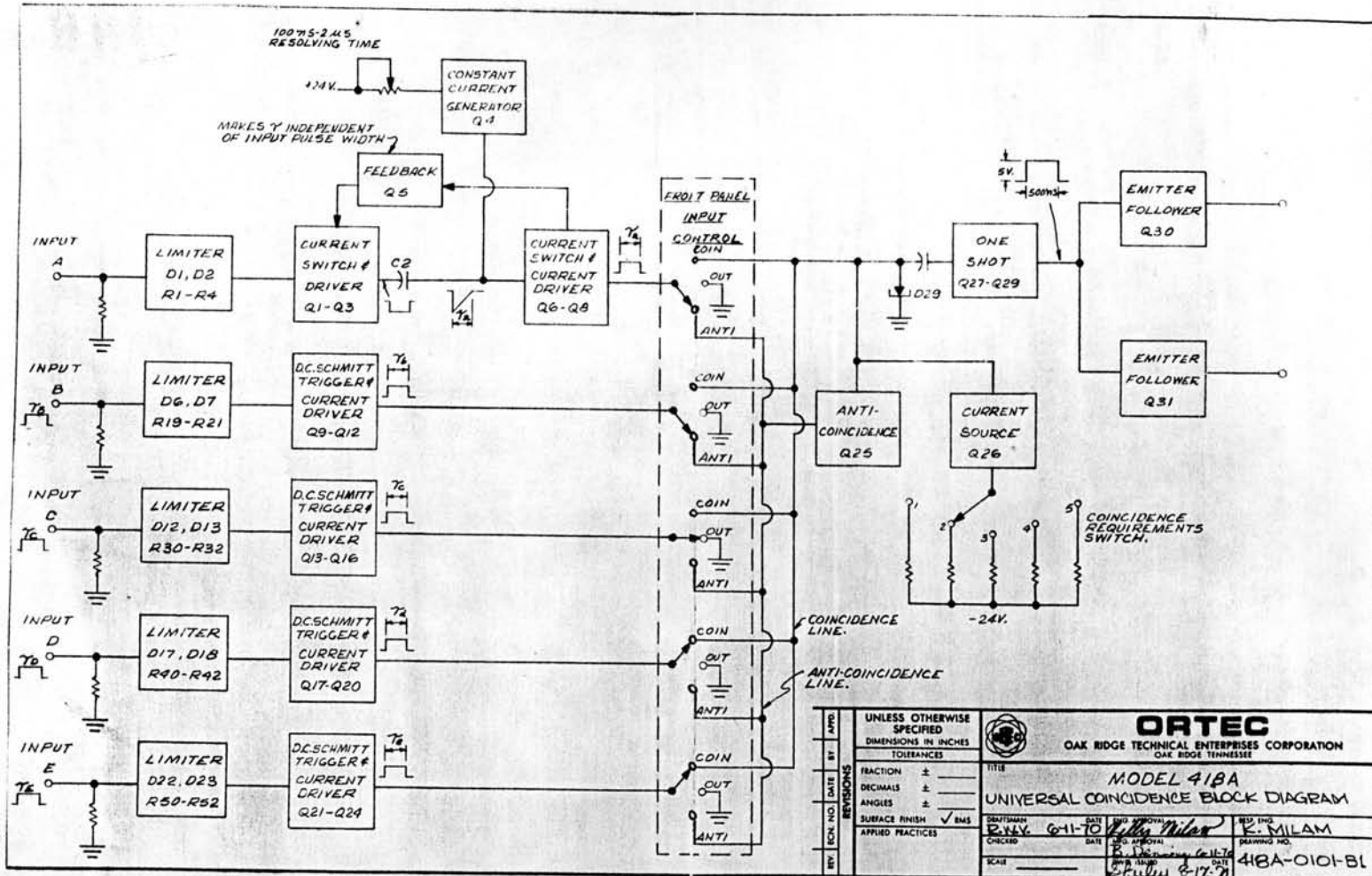
วงจรโคอินซิเกนซ์ที่ใช้ในการทดลอง เป็นวงจรผลิตโดยบริษัท ออเตค (ORTEC) ซึ่งออกแบบมาเป็นแบบซัมเมอร์แอน (Overlap type) คั่งรูปที่ 2.5 ที่มีลักษณะคล้ายๆ กัน แต่ต่างกันที่ เกรื่องมืออาจปรับให้รับสัญญาณอินพุท ได้ถึง 5 ช่อง และอาจใช้เป็นระบบ โคอินซิเกนซ์ หรือ แอนไท โคอินซิเกนซ์ ระบบ ควบคุมสัญญาณจากบานสัญญาณเหล่านี้ไปยังส่วนโคอินซิเกนซ์ ซึ่งประกอบด้วย ทันเนล ไกโอด (Tunnel diode) และหранชิสเทอร์ซึ่งทำหน้าที่เป็นต้นกำเนิดกระแส (Current source) คั่งรูปที่ 2.6 เมื่อ ทันเนล ไกโอด ถูกจัดไปอยู่ที่ระดับสูง (High state) โดยสัญญาณกระแสโคอินซิเกนซ์ (Coincidence current pulse) เกรื่องมือจะให้สัญญาณเอาท์พุท จำนวนของสัญญาณโคอินซิเกนซ์ที่ใช้ทริกเกอร์ ทันเนล ไกโอด (Trigger tunnel diode) จะขึ้นกับปริมาณของกระแส ใบแอด (Biased current) ในทันเนล ไกโอด ซึ่งเท่ากับกระแสคงเดเกอร์ (Collector current) ของหранชิสเทอร์ ที่ทำหน้าที่เป็นต้นกำเนิดกระแส กระแส นี้ควบคุมโดยความต้านทานที่ต่อ กับ อิมิทเทอร์ (Emitter resistor) ของหранชิสเทอร์ ซึ่งเลือกไกโอด สวิทช์ (Coincidence requirement switch) เมื่อทันเนล ไกโอด ถูกทริกเกอร์ ไปที่ระดับสูงจะให้สัญญาณไฟทริกเกอร์ หน่วย One shot ซึ่งจะ ให้ logic pulse (Logic pulse) ผ่านไปยัง อิมิทเทอร์ ฟอลโลเวอร์ (Emitter follower) 2 ตัว และให้ pulse logic 2 pulse ที่ เอาท์พุท คอนเนคเตอร์ (Output connectors)

#### 2.4 ชานซ์ โคอินซิเกนซ์ และ รีโซลวิ� ไทม์<sup>(8)</sup> (Chance Coincidence and Resolving Time)

เนื่องจากพื้นที่เข้าอินพุทของวงจรโคอินซิเกนซ์มีความกว้างทำให้สัญญาณจาก หัววัดรังสีที่ไม่ได้โคอินซิเกนซ์กัน อาจให้สัญญาณโคอินซิเกนซ์ที่เอาท์พุทของวงจรโคอิน-ซิเกนซ์ได้ด้วย เลย์ (delay) ของพื้นที่อยกว่า รีโซลวิ้ง ไทม์ ( $T$ ) ของวงจรโค-อินซิเกนซ์ สัญญาณที่ออกจากเอาท์พุทของวงจรโคอินซิเกนซ์ แบบนี้เป็น Spurious coincidence หรือ ชานซ์ โคอินซิเกนซ์ จำนวน ชานซ์ โคอินซิเกนซ์ ที่เกิดต่อหน่วย



รูปที่ 2.5 แสดงแผนผังวงจร์โคงิชเคนซ์ ที่ใช้ในการทดลอง (11)



รูปที่ 2.6 แสดงแผนผังการทำงานของหน่วยโคลนิชเคนซ์ ที่ใช้ในการทดลอง (11)

เวลา ( $N_c$ ) นี้ ขึ้นกับอัตราณับ  $N_{\beta N}$  จากหัววัดรังสีเบต้าและแกรมมาในกรณีที่ใช้หัววัดรังสี 2 หัว โดยการที่พื้นที่จากหัววัดรังสีเบต้าตัวใดตัวหนึ่งจะปราบปรามกับพื้นที่จากหัววัดรังสีแกรมมาก่ายในเวลา  $\pm T$  ก็คือ  $p \approx N_{\beta N} (2T)$  ดังนั้นอัตราการเกิด ชานซ์ โโคินชิเกนซ์ ก็คือ  $C_c = 2T N_{\beta N}$  เมื่อหัววัดรังสีเบต้าและแกรมมา รังสีที่ไม่ได้เกิด ขึ้นอย่างโโคินชิเกนซ์ อัตราณับที่ได้  $N_c = n_c + 2T N_{\beta N}$  โดยที่  $n_c$  ก็คืออัตราณับของแบคกราวน์ โโคินชิเกนซ์ ที่เกิดจากรังสีก่อสมิค

Chase<sup>(8)</sup> ได้ให้การของ ชานซ์ โโคินชิเกนซ์ เมื่อวงจรโโคินชิเกนซ์ มี 3 อินพุท ว่ามีค่า  $C_c = 3\pi^2 N_1 N_2 N_3$  และ  $C_c = \pi^{n-1} N_1 N_2 N_3 \dots N_n$  เมื่อมี  $n$  อินพุท

ในการศึกษาปรากฏการ โโคินชิเกนซ์ วิ่งทางการวัดการเกิดโโคินชิเกนซ์ ที่แท้จริง เทคนิค โโคินชิเกนซ์ระหว่างรังสีเบต้า และรังสีแกรมมา มีค่าเป็น  $N_{\beta N}$  ท้องมี ค่าสูงกว่า  $N_c$  Bleuler และ Goldsmith<sup>(5)</sup> ได้ให้ขอบเขตของความแรงของกันกำเนิดรังสี ไว้ว่าความแรงนี้มีค่า  $5 \times 10^5$  dps เมื่อวงจรโโคินชิเกนซ์ มี รีโซลวิ่ง ใหม่  $1 \mu s$ .

## 2.5 การหาค่า รีโซลวิ่ง ใหม่<sup>(5)</sup> (Determination of the Resolving Time)

รีโซลวิ่ง ใหม่ ของระบบการวัดแบบเบต้า-แกรมมา โโคินชิเกนซ์ จะมีผลก่ออัตราการเกิด ชานซ์ โโคินชิเกนซ์ และอัตราการณับของโโคินชิเกนซ์ที่แท้จริง ดังนั้นในการวัดความแรงลักษณะโดยวิธี เบต้า-แกรมมา โโคินชิเกนซ์ จะเป็นต้นที่ทราบค่า รีโซลวิ่ง ใหม่ ของระบบโโคินชิเกนซ์ เพื่อนำไปคำนวณอัตราการเกิด ชานซ์ โโคินชิเกนซ์ และนำค่านี้ไปหักออกจากการณับโโคินชิเกนซ์ จากเครื่องนับ

ค่า รีโซลวิ่ง ใหม่ ของระบบโโคินชิเกนซ์ หาได้โดยวิธีที่คำนวณรังสีสองตัว (Two sources method) โดยวางต้นกำเนิดรังสีแกรมมาไว้หน้าหัววัดแกรมมา และต้นกำเนิดรังสีเบต้าไว้หน้าหัววัดเบต้า โดยมีเครื่องกำเนิดรังสีกันในรังสีจากต้นกำเนิดรังสี ทั้งสองระบบวิ่งกันและกัน

ความสัมพันธ์ระหว่าง อัตราการนับรังสีเบต้า รังสีแกมมา และอัตราการนับ โคลินซิเกนซ์ จะมีความสัมพันธ์ ดังสมการ (2.1)

$$N_c = b_c + 2T \cdot N_{\beta} \cdot N_{\gamma} \quad (2.1)$$

ในที่นี้  $N_c$  = เป็นอัตราการนับของโคลินซิเกนซ์ ตลอดเวลา

$N_{\beta}$  = เป็นอัตราการนับของรังสีเบต้า ตลอดเวลา

$N_{\gamma}$  = เป็นอัตราการนับของรังสีแกมมา ตลอดเวลา

$b_c$  = เป็นอัตราการนับแบบกราวน์ โคลินซิเกนซ์ ตลอดเวลา

$T$  = เป็นค่า รีโซลูชัน ใหม่ ของวงจรโคลินซิเกนซ์

จะเห็นว่า สมการ (2.1) เป็นสมการเส้นตรง โดยมีค่า  $b_c$  เป็นจุดตัด บนแกน y และเส้นตรงมีความรัน  $2T$  โดยนำความสัมพันธ์ของ  $N_c$  และ  $N_{\beta} \cdot N_{\gamma}$  มาเขียนเส้นกราฟ ดังรูป 2.7 ซึ่งเป็นกราฟเส้นตรง

จากสมการ (2.1) คาดความชน =  $2T$

กั้นน้ำเราจะสามารถหาค่า รีโซลูชัน ใหม่ ของ โคลินซิเกนซ์ ได้โดยใช้วิธีทันกำเนิด-รังสีสองตัว จากสมการ (2.1) เราจะได้ค่า โคลินซิเกนซ์ ที่แท้จริง (True coincidence counts) ดังสมการ

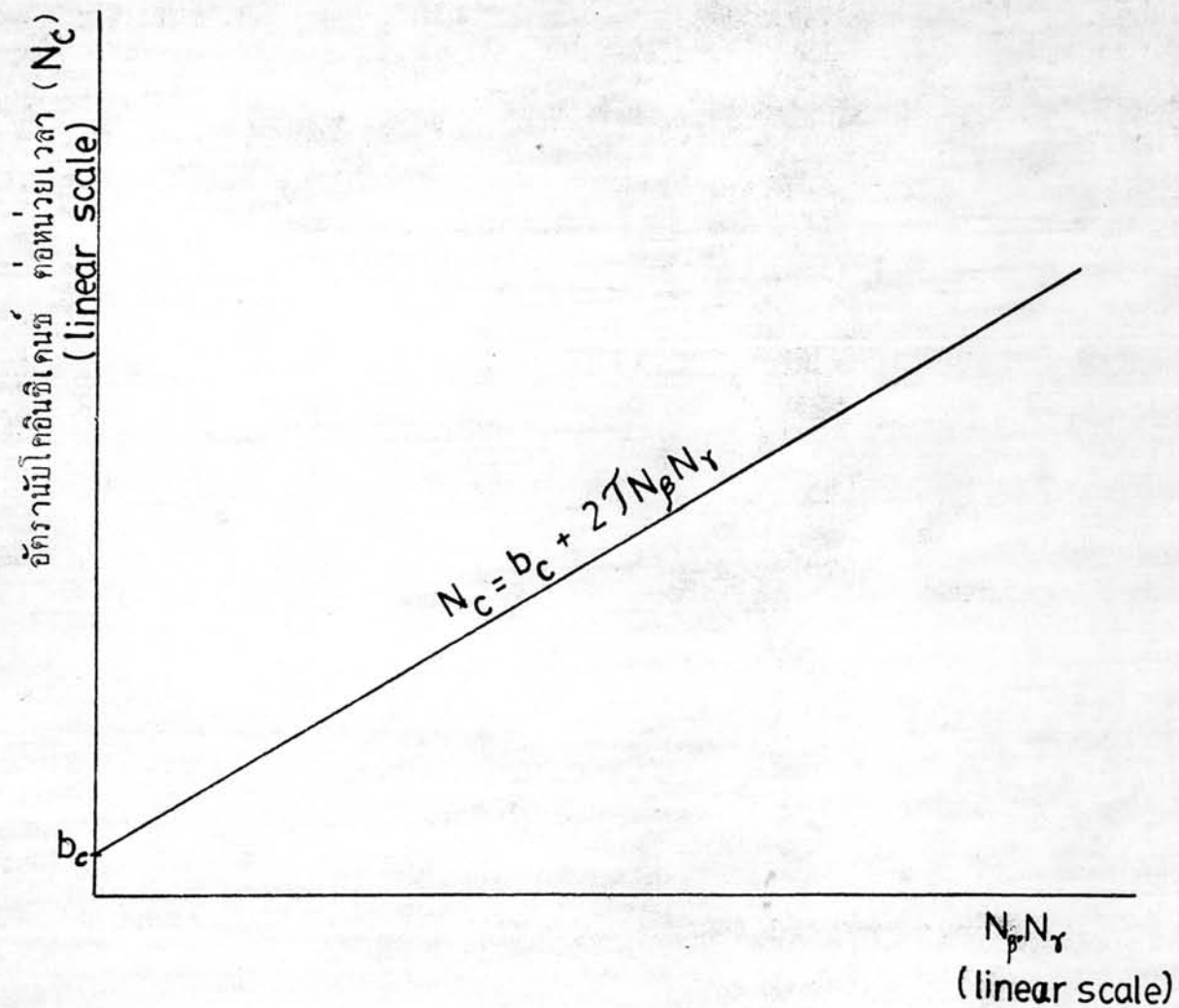
$$N_{\beta\gamma} = N_c - b_c - 2T \cdot N_{\beta} \cdot N_{\gamma} \quad (2.2)$$

ในที่นี้  $N_c$  = เป็นการอัตราการนับโคลินซิเกนซ์รวมๆ จากการเก็บร่องน้ำโคลินซิเกนซ์

$N_{\beta\gamma}$  = เป็นการอัตราการนับโคลินซิเกนซ์ที่แท้จริง

2.6 การวัดความแรงสัมมูลค่ายระบบ เบต้า-แกมมา โคลินซิเกนซ์ (Absolute Activity Measurement by Beta-Gamma Coincidence Method)

ในการสลายตัวของสารกัมมันตรังสีส่วนใหญ่ มักปลดปล่อยรังสีเบต้า และความ กว่ายรังสีแกมมา ซึ่งเกิดขึ้นต่อเนื่องกันในช่วงเวลาอันสั้นมาก โดยใช้ระบบโคลินซิเกนซ์



รูปที่ 2.7 แสดง ~~วิธี~~ หาค่า รีไซลิง ใหม่ ของระบบโครงสร้าง (๕)

(5)

เราสามารถวัดความแรงสัมบูรณ์ของสารกัมมันตรังสีได้โดยนำสัญญาณ ซึ่งเกิดจากการรังสี-เบต้าและรังสีแกมมาเข้าอินพุท (Input) ของโคลอินซิเดนซ์ แล้วผ่านสัญญาณ เอ้าท์พุท (Output) ไปเข้าเครื่องนับ (Scaler) โดยอาศัยหลักการคั่งกดาวจะสามารถนำไปสู่การวัดความแรงสัมบูรณ์สารกัมมันตรังสีได้จากหลักสำคัญดังนี้

ถ้า  $N_0$  = เป็นอัตราการปลดปล่อยรังสีก่อหน่วยเวลา

$N_\gamma$  = เป็นอัตราการนับรังสีแกมมาก่อหน่วยเวลา

$E_\gamma$  = เป็นประสิทธิภาพของหัววัดรังสีแกมมา

จะได้ว่า  $N_\beta$  =  $N_0 E_\beta$  และ  $N_\beta = N_0 E_\beta$

ถ้า  $N_{\beta\gamma}$  = เป็นอัตราการนับโคลอินซิเดนซ์ ต่อหน่วยเวลา

จะได้ว่า  $N_{\beta\gamma} = N_0 E_\beta E_\gamma$

แทนค่า  $E_\beta$  และ  $E_\gamma$

$$\text{จะได้ว่า } N_0 = \frac{N_{\beta\gamma} \cdot N_\beta}{N_{\beta\gamma}} \quad (2.3)$$

จากสมการ (2.3) จะสามารถนำไปสู่การวัดความแรงสัมบูรณ์ของสารกัมมันตรังสี

2.7 ประสิทธิภาพของการวัดรังสีแกมมาในเครื่องวัดเบต้า (Gamma-Efficiency of Beta-Counter) (4)

ในการศึกษาระบบการวัดแบบ เบต้า-แกมมา โคลอินซิเดนซ์ โดยใช้หัววัดแบบไกเกอร์ เป็นเครื่องวัดรังสีเบต้า และแกมมา จะพบว่าในหัววัดเบต้าจะไม่ครอบรังสีแกมมากว่าย ทำให้อัตราการนับรังสีเบต้าต่อหน่วยเวลาที่อ่อนกว่าเครื่องนับ (Scaler) ฝิกพอดีไปเนื่องมาจากรังสีแกมมาที่ไม่ครอบหัววัดเบต้า ดังนั้นอัตราการนับรังสีเบต้าต่อหน่วยเวลา ( $N_\beta$ ) จะเป็น

$$N_\beta = N_0 \left[ E_\beta + (1-E_\beta)E_{\beta\gamma} \right]$$

ในที่นี่  $E_p$  เป็นประสิทธิภาพของหัววัดเบต้าที่ไม่ต้องรังสีแกมมา แต่ในยางครองรังสีแกมมาที่ไม่ต้องหัววัดเบต้าจะไปเพิ่มอัตราการนับในเครื่องนับเบต้า และยังไปเพิ่มอัตราการนับในเครื่องนับโคลินชิเกนซ์ ด้วย ซึ่งมีผลทำให้เกิดความผิดพลาด ก่อการวัดความแรงสัมบูรณ์ของสารกัมมันตรังสี จะได้ว่า

$$N_{B\beta} = N_0 \left[ E_p \cdot E_\gamma + (1-E_p) E_c \right]$$

ในที่นี่  $E_c$  เป็นประสิทธิภาพของหัววัดเบต้าที่ไม่ต้องรังสีแกมมา มีผลของการเพิ่มอัตราการนับของโคลินชิเกนซ์ ดังนั้นเราจะได้ว่า

$$\frac{N_p \cdot N_\gamma}{N_{B\beta}} = N_0 \left[ 1 + \frac{(1-E_p) \cdot (E_p \cdot E_\gamma - E_c)}{E_p \cdot E_\gamma + (1-E_p) E_c} \right] \quad (2.4)$$

แต่ในการทดลองจะพบว่า ค่า  $E_c$  มีค่าน้อยมากเมื่อเปรียบเทียบกับค่า  $E_p$  และ  $E_\gamma$  ดังนั้น ถ้าเราถือเสี้ยวค่า  $E_c = 0$  สมการที่ (2.4) จะเป็นดังนี้

$$\frac{N_p \cdot N_\gamma}{N_{B\beta}} = N_0 \left[ 1 + \frac{(1-E_p) \cdot (E_p \cdot E_\gamma)}{E_p} \right] \quad (2.5)$$

จากสมการ (2.5) จะเป็นสมการกราฟเส้นตรง โดยมีค่า  $N_0(E_p)$  เป็นค่าความ-  
ชัน (Slope) ของเส้นกราฟ และ  $N_0$  เป็นค่า จุดศูนย์บันกลาง  $y$

## 2.8 วิธีหาอัตราการนับรังสีเบต้าแท้จริง ในเครื่องนับเบต้า<sup>(2)</sup>

เมื่อสารกัมมันตรังสีสลายตัว ปลดปล่อยรังสีเบต้า อนุภาคเบต้าจะมีพลังงาน-  
จลน์ (Kinetic energy) วิ่งบนตัวกลางไป ขณะเดียวกันก็จะสูญเสียพลังงานเนื่อง  
จากการชนกับอนุภาคของตัวกลางที่รังสีวิ่งผ่านไป จนสูญเสียพลังงานหมด อนุภาครังสี-  
เบต้าก็หยุดนิ่ง ระยะทางที่รังสีเบต้าเคลื่อนที่ไปได้ในตัวกลางนั้นเป็นค่าที่นำเสนอไว้ และ  
มีความสำคัญมาก ค่าระยะทางที่รังสีเบต้าจะเคลื่อนที่ไปได้ในตัวกลางจะมีค่าคง ๆ กัน  
ขึ้นอยู่กับชนิดของตัวกลางนั้น

วิธีที่ใช้หาค่าระยะทางที่รังสีเบต้าสามารถวิงผ่านไปได้ในตัวกลางอย่างง่าย ๆ คือ นำแผ่นดูดกลืน (Absorber) มาวางกันทันทีเมื่อรังสีเบต้าแล้วจับหักอัตราการนับจากเครื่องนับรังสีเบต้า โดยวิธีเปลี่ยนค่าความหนาของแผ่นดูดกลืนหลาย ๆ ขนาดจากน้อยไปมาก ทำให้อัตราการนับรังสีค่อย ๆ ลดลงจนกระทั่งอัตราการนับเกือบคงที่ ความสัมพันธ์ของความหนาของแผ่นดูดกลืนและอัตราการนับรังสีในเครื่องนับเบต้าแสดงกันอยู่ที่ 2.8

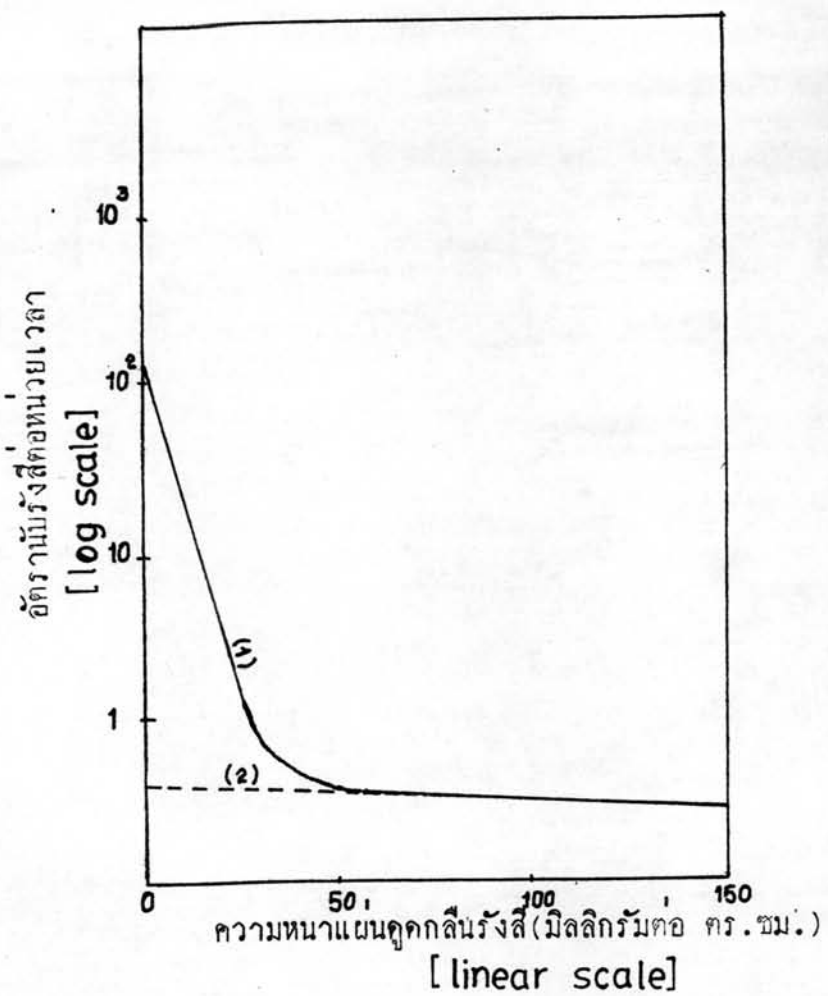
จากญูปที่ 2.8 จะเห็นได้ว่า การตรวจวัดรังสีแกรมมาที่ปะปนรวมกับอัตราการนับของเครื่องนับรังสีเบต้า จากญูปกราฟเด่นที่ (1) แสดงอัตราการนับรังสีเบต้ารวมกับอัตราการนับรังสีแกรมมาและแบคกราวน์ในช่วงตอนบนของญูปกราฟ และโดยการทดสอบท้ายของญูปกราฟ (1) ออกไปตัดแกนอัตราการนับจะได้กราฟเด่นที่ (2) ซึ่งเป็นอัตราการนับรังสีแกรมมาในเครื่องผู้รังสีเบต้าและแบคกราวน์

อัตราการนับรังสีแกรมมาที่เหลือจะอ่านค่าได้จากการฟีล์ม (2) ส่วนอัตราการนับรังสีเบต้าที่เหลือจะหาได้โดยการนำเอาผลหักลบระหว่างกราฟเด่นที่ (1) กับกราฟเด่น (2) แล้วนำมาเขียนกราฟ ค่าอัตราการนับรังสีเบต้าที่เหลือ จึงอ่านค่าได้จากการฟีล์ม

อัตราการนับของเบต้าที่เหลือนี้ จะมีประโยชน์ในการหาความแรงสัมมูลณ์ของสารกัมมันตรังสี โดยบันทึกอัตราการนับรังสีเบต้า แกรมมา และโคอินบีเกน์ ที่เหลือ จากเครื่องนับแล้วแยกหัวที่เหลือของอัตราการนับ เราจะสามารถคำนวณหาความแรงสัมมูลณ์ของสารกัมมันตรังสีได้ดังสมการที่ (2.3)

## 2.9 การเขียนเส้นกราฟเด่นที่โดยวิธีกำลังสองน้อยที่สุด (Least-Square Method)

การหาความสัมพันธ์ระหว่างข้อมูลที่ได้จากการทดลอง โดยวิธีการเขียนเส้นกราฟ จำเป็นท้องมีเครื่องมือช่วยในการเขียนกราฟ เพื่อให้สอดคล้องกับข้อมูลมากที่สุด วิธีหนึ่งที่สำคัญคือวิธีการกำลังสองน้อยที่สุด โดยทั้งสมการของเส้นกราฟรึ่งมีความสัมพันธ์



รูปที่ 2.8 แสดงอัตราการนับรังสีเบก้า และ แกรมบาร์เมื่อผ่านแผ่นดูดคลีนรังสี  
ขนาดความหนาค้าง ๆ <sup>(2)</sup>

ระหว่างค่าความชัน และจุดตัดบนแกน y ดังสมการ (2.6)

$$y = b + mx \quad (2.6)$$

โดยที่  $y$  = ค่าตัวแปรใด ๆ บนแกน  $y$

$x$  = ค่าตัวแปรใด ๆ บนแกน  $x$

$b$  = จุดตัดบนแกน  $y$

$m$  = ค่าความชันของเส้นตรง

โดยวิธีกำลังสองน้อยที่สุด ค่าของ  $b$  และ  $m$  จะได้จากสมการ (2.7) และ (2.8)

$$b = \frac{(\sum x_i)(\sum x_i y_i) - (\sum x_i^2)(\sum y_i)}{(\sum x_i)^2 - N(\sum x_i^2)} \quad (2.7)$$

$$m = \frac{(\sum x_i)(\sum y_i) - N(\sum x_i y_i)}{(\sum x_i)^2 - N(\sum x_i^2)} \quad (2.8)$$

จากสมการ (2.7) และ (2.8) ทำให้สามารถเขียนกราฟเส้นตรง โดยแสดงความสัมพันธ์ของข้อมูล ซึ่งได้จากการทดลอง